

# دراسة ترددات الاهتزاز لجزئية الكورأنيولين وجذورها الأيونية الموجبة والسلالبة باستخدام حسابات مكانيك الكم

رجب ماجد كية منال عبيد الدليمي مثنى شنسل

جامعة بغداد - كلية العلوم

٢٠١١/٦/١٣ تاريخ القبول: ٢٠١٠/١٠/١٧ تاريخ الاستلام:

## **الخلاصة**

تم حساب ترددات الاهتزاز وشدة امتصاص الأشعة تحت الحمراء والاحديات المتعامدة لجزيء أيون الكورونين الموجب الشحنة والساياب الشحنة، باستخدام حسابات ميكانيك الكم شبه التجريبية ممثلة بنموذجي الحساب/3 MINDO/3 و PM3 باستخدام طرق الحساب الأساسية ممثلة بنظرية دوال الكثافة (DFT) وبأسلوب (B3LYP) وعناصر قاعدة (G-311G). وقد مكنت الحسابات من التعريف الصحيح لجميع ترددات الاهتزاز المقاسة تجريبياً للايون الموجب لهذه الجزيئة، وبالصيغتين التماثلية و التكافؤية. كما أمكن التنبؤ بجميع ترددات الاهتزاز للايون السالب للجزيء نفسها. وبناء على هذه التعريفات فقد أمكن إجراء المقارنة بين ترددات الاهتزاز للايونين والجزيء المتعادلة.

**كلمات مفتاحية :** ترددات الاهتزاز ، الكورأنيولين ، حسابات مكانيك الكم

كنتيجة لهذا التوتر شكل(2)، حيث اظهرت دراسة الشكل البلوري للجزئية بواسطة حيد الاشعة السينية x-ray الشكل الذي قام بها Hanson & Nordman عام 1976 [4] ، انحراف زوايا التأثر عن قيمها الطبيعية. تم تحضير Dibenzo fluoranthene بالكورانيولين Corannulene لأول مرة على يد Barth & Lawton [2,1]، وقاما بقياس طيف الاشعة تحت الحمراء للجزئية تجريبيا. وبعد اكتشاف الفلرين Fullerene (C<sub>60</sub>) المعروفة بالكرات الضخمة Bulkyballs عام 1985 [5] توجه اهتمام الكيميائين مرة اخرى الى الهيبروكربونات العطرية متعددة النويات منحنية السطح Curved Surface polynuclear aromatic hydrocarbons المعروفة بالصخون الضخمة Bulkybowls Polar لاهميتها كاجزاء تركيبية مهمة (end cap) لتصنيع الفلرين التي يمثل الكورانيولين ابسط مثال لها ، فلمت محاولة اعادة تحضيره بكثير نسبياً ويزمن قصير من قبل Scoot et al. عام 1991 [6] و Syqua et al. عام 1992 [7]. اجريت العديد من

المقدمة

اشتق اسم الكورانيولين من الكلمة لاتينية مكونة من مقطعين (Cor) وتعني القلب او اللب و annula وتعني الحلقة) وقد جاءت هذه التسمية لتتضمن علاقة جزيئية الكورانيولين بمثناها (جزيئ الكورونين)، تميز الجزيئ بتركيب الكتروني فريد اذ تمتلك صيغة رينينية فريدة An resonance form فالحلقة الخاميسية الداخلية inner cyclopentadienyl anion بينما تكون حلقات البنزين الخارجية outer cyclopentadecaheptaenyl cation موجبة [2,1] وتتطبق قاعدة هكل ( $4n+2$ ) لكل صيغة منها على انفراد. وقد اثبتت حسابات SCF-MO التي اجرياها Gleicher عام (1967)[3] ان هذه الصيغة المستقطبة تتفق مع توزيع الكترونات  $\pi$  للنظام شكل (1). تتميز الجزيئ أيضا بنظام متواتر strain system ناتج عن شد اجزائه وانحناء كل حلقة من حلقات البنزين الخارجية Bowl or Dash تتلخص بذلك شكلا شبيها بالصحن

$vib$  [A2(Rz)] يصبح عدد تماثلات الحركة الاهتزازية كالآتي:

$$vib = 3N-6 = (3 \times 30) - 6 = 84 = 9A1 + 7A2 + 16 E1 + 18 E2$$

وعند الاطلاع على جدول القيم الذاتية يلاحظ امتلاك الجزيئه 36 نمطا (18E2) فعالا في طيف رaman، 41 نمطا (16E1، 9A1) فعالا في طيف رaman و طيف الاشعة تحت الحمراء معا، و 7 انمطا (7A2) غير فعالة في طيف رaman او طيف الاشعة تحت الحمراء.

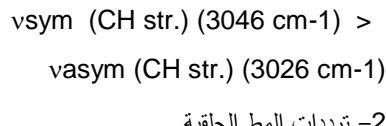
#### تصنيف ترددات الاهتزاز لجزيئه الكورانيولين المتعادله

وتشتمل ترددات الاهتزاز لجزيئه الكورانيولين على اربعة وثمانين نمطا اهتزازيا تم تصنيفها كالآتي:

أ- ترددات الانماط الاهتزازية الواقعه في مستوى سطح الجزيئه وتتضمن:

##### 1- ترددات مط الاصره CH

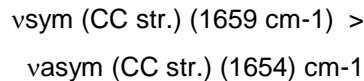
وعددها 10 ترددات بقدر عدد اواصر CH وتترواح قيم تردداتها بين (3028-3051) سـ-1 وشدة امتصاصها بين (121.379-0.00) كم مول-1. وبالاطلاع على جدول (2) والاشكال الواصفة للانماط الاهتزازية يمكن ملاحظة ان:



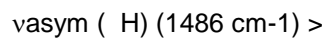
##### 2- ترددات المط الحلقيه.

#### The CC stretching vibrations

وتشتمل على 19 تردا (NC-1) حيث NC عدد ذرات الكاربون في الجزيئه. وتترواح القيم العدديه لتردداتها بين 2.453- (1659-1444) سـ-1 وشدة امتصاصها بين (0.00-1) كم مول-1، جدول (2) كما يمكن ملاحظة العلاقة الآتية:



3- ترددات انحاء الاصره CH عند مستوى سطح الجزيئه (CH). وعدها 10 ترددات بقدر عدد اواصر CH. تتراوح القيم العدديه لتردداتها بين (1486-1171) سـ-1 وشدة امتصاصها بين (0.00-4.353) كم مول-1، جدول (2). كما يمكن ملاحظة العلاقة الآتية:



الحسابات النظرية لجزيئه الكورانيولين [8] باستخدام طائق ميكانيك الكم شبـه التجـريـبي (MNDO, PM3, AM1) والاساسـية ab initio وقد اقتصرت تلك الحسابات على حساب حرارة التـكونـين لـجزـيـئـه من Heat of formation قبل Chickos et al. عام (2002) [9]. وحساب طاقة الانحناء Curvature energy والطاقة الكلـية وطاقة الانقلاب Bowl-to-bowl inversion barriers من Dinadayalane et al. و Narhari et al. عامي 2002 [11,10] .

#### النتائج والمناقشة:

نظرا لافتقار ادبيات الكيمياء للتشخيص الطيفي المتكامل لجزيئه فقد تم اعتماد برنامج كاوس [12] (Gaussian 3)، لاستخدام اسلوب الحساب التام (DFT) (B3LYP/6-311G) بصورة رئيسـة واسـلوـبـيـ الحـاسـبـ شبـهـ التجـريـبيـ MINDO/3 و PM3 لغرض المقارنة لحساب ترددات الاهتزاز وشدة امتصاص الاشعة تحت الحمراء عند الشكل الهندسي التوازـنـيـ لـجزـيـئـهـ.

كما تم تـصـنيـفـ التـرـددـاتـ الـاهـتزـازـيـهـ المـحـسـوـبـةـ تـكـافـؤـيـاـ وـتـمـاثـلـيـاـ باـلـاسـتـعـانـةـ بـبرـنـامـجـ الرـسـمـ DRAW.MOLـ [13]ـ العـائـدـ لـبرـنـامـجـ MINDO/3-FORCESـ.

ويبين الشكل (3) انموذجا من انماط الحركة الاهتزازية التي تم تـصـنيـفـهاـ منـ خـلـالـ هـذـاـ بـرـنـامـجـ. كذلك اجريت عملية مقاييسـةـ لـتحـسـينـ الـقـيـمـ العـدـدـيـهـ لـتـرـددـاتـ المـحـسـوـبـةـ عـلـىـ وـفـقـ مـقـاـسـةـ MINDO/3-FORCESـ والتي جاءـتـ قـرـبـيـةـ مـنـ الـقـيـمـ المـقـاـسـةـ تـجـريـبيـاـ مـنـ قـبـلـ بـارـثـ وـلـاوـنـ.

وقد تم استخدام طـرـيقـةـ IUPACـ شـكـلـ (4a)ـ وـالـطـرـيقـةـ النـظـامـيـةـ شـكـلـ (4b)ـ فيـ تـرـقـيمـ الذـرـاتـ، وـقـرـنـتـ النـتـائـجـ معـ الـقـيـمـ الـمـقـاـسـةـ تـجـريـبيـاـ مـنـ قـبـلـ هـانـسـونـ وـنـورـدـمانـ [4]ـ وـمـعـ الـمـحـسـوـبـةـ نـظـرـيـاـ مـنـ قـبـلـ Hanson & Nordmanـ Kao & Allingerـ عامـ (1976)ـ [14].

تنتمي جـزـيـئـهـ الكـورـانـيـولـينـ إـلـىـ المـجـمـوعـةـ التـمـاثـلـيـةـ C5vـ وـفـقاـ لـجـدـولـ الـقـيـمـ الدـاـتـيـةـ (Character table)ـ [13]ـ وـتـبـعـاـ لـذـلـكـ تمـ استـخـرـاجـ العـدـدـ الـكـلـيـ لـلـأـصـنـافـ التـمـاثـلـيـةـ (tot.)ـ كماـ يـأـتـيـ:

$$\text{tot.} = 3N = 3 \times 30 = 90 = 10 A1 + 8 A2 + 18 E1 + 18 E2$$

وبعد طـرـحـ درـجـاتـ الحرـيـةـ الـانـقـالـيـةـ الـثـلـاثـ [E1(x, y), E1(z)]ـ وـدـرـجـاتـ الحرـيـةـ الدـورـانـيـةـ الـثـلـاثـ [A1(Rx, Ry), A1(Rz)],

[19]، فقد تم حسابها عند الشكل الهندسي التوازي للجزئية وفق نظرية دوال الكثافة وباسلوب (B3LYP) وعناصر قاعدة كاوس (6-311G) (شكل - 6) جدول (3).

ينتفي جذر الكورانيولين الموجب الى المجموعة التماضية CS و يمتلك اربعه وثمانون ترددًا اساسيا (3N-6 = 84) تتوزع احداثياتها المتعامدة استنادا الى نظرية المجموعة الى (57) نمطا اهتزازيا تقع ضمن مستوى سطح الجزيئه و (27) نمطا اهتزازيا تقع خارج مستوى سطح الجزيئه وجميع هذه الانماط فعالة في طيف رaman و طيف الاشعة تحت الحمراء. اما العدد الكلي للأصناف التماضية tot. و عدد تماثلات الحركة tot. = 3N الاهتزازية vib فقد تم استخراجها كما يأتي:

$$= 3 \times 30 \quad \text{tot.} = 90$$

$$\text{vib} = 3N-6 = (3 \times 30) - 6 = 84 = 43 \text{ A' + 41 A''}$$

$$\text{op} = N-3 = 27, \quad \text{ip} = 2N-3 = 57$$

ip : يشير الى الانماط الاهتزازية الواقعه ضمن مستوى سطح الجزيئه.

op : يشير الى الانماط الاهتزازية الواقعه خارج مستوى سطح الجزيئه. A' : يشير الى الانماط المتماثله نسبة لسطح تماثل الجزيئه σ الذي يختلف الجزيئه من الوسط.

A'' : يشير الى الانماط غير المتماثله نسبة لسطح تماثل الجزيئه σ. وقد تم تصنيف الانماط الاهتزازية العائده لجزئية تماثلها وتكافؤها بالاستعانه بأشكال الحركة الاهتزازية لبرنامجه كاوس.

تصنيف ترددات الاهتزاز لجذر الكورانيولين الموجب + (C20H10).

أ- ترددات الانماط الاهتزازية الواقعه عند مستوى سطح الجزيئه.

وتشتمل على ('57A') نمطا اهتزازيا فعالا في طيف رaman وظيف الاشعة تحت الحمراء تم تصنيفها كما يأتي:

1- ترددات مط الاصرة CH وتترواح قيم تردداتها بين -0.0140 (3076-3056) سم-1 وشدة امتصاصها بين (4) كم مول-1 جدول (4)

2- ترددات المط الحلقيه. وتترواح قيم تردداتها بين -1652 (200.647-1.708) سم-1 وشدة امتصاصها بين .1 كم مول-1.

vsym ( CH) (1276 cm-1)

4- ترددات انحناء الحلقات العطرية عند مستوى سطح الجزيئه CCC).

وعددتها 18 ترددًا تتراوح قيمها بين (1202-448) سم-1 وشدة امتصاصها بين (3.380-0.00) كم مول-1. وعند الاطلاع على جدول (2) يلاحظ ان:

vasym ( CCC)(872 cm-1) >  
vsym ( CCC)(603 cm-1)

ب- ترددات الانماط الاهتزازية الواقعه خارج مستوى سطح الجزيئه.

#### Out of plane modes of vibrations

1- ترددات انحناء الاصرة CH خارج مستوى سطح الجزيئه. (γCH)

وعددتها 10 ترددات بقدر عدد اواصر CH. تتراوح قيمها بين (992-771) سم-1 وشدة امتصاصها بين (153.339-0.00) كم مول-1. ويلاحظ فيها العلاقة الآتية:

vasym ( γ CH) (992 cm-1) >  
vsym ( γ CH) (876 cm-1)

2- ترددات انحناء الحلقات العطرية خارج مستوى سطح الجزيئه(γCC).

وعددتها 17 ترددًا (NC-3) تتراوح قيمها بين (679-143) سم-1 وشدة امتصاصها بين (22.803-0.00) كم مول-1.

> vsym (γCC) (563 cm-1)  
vasym (γCC) (316 cm-1)

وبيين (شكل-5) الإشكال البيانية الواصفة لبعض أنماط الحركة الاهتزازية لجزئية الكورانيولين المتعادلة.

ترددات الاهتزاز لجذر الكورانيولين الموجب + (C20H10). اقتصرت الدراسات الطيفية لجذر الكورانيولين الموجب التي وردت في الابحاث على طيف الامتصاص المرئي Visible spectrum للجزئية الذي قاسه بارت لاوتون والباحثين معهم عام [18] (1967).

و لم يتم العثور خلال مراجعة الابحاث على اي دراسة تجريبية او نظرية لحساب ترددات الاهتزاز او شدة امتصاص الاشعة تحت الحمراء او القيم الهندسية لجزئية.

ونظرا لأهمية ترددات الاهتزاز وشدة الامتصاص للأيونات الموجية لاقتراض عائدية الحزم المنبعثة من الفضاء اليها

كذلك تم حساب حرارة التكوين وقيم الاحاديث الهندسية الداخلية (اطوال وزوايا التأثير) لجزئية، ونظرًا لعدم توفر قيم تجريبية او نظرية فقد تم استخدام برنامج PM3 لغرض المقارنة جدول (3).

تصنيف ترددات الاهتزاز لجذر الكورانيولين السالب (C20H10)

أ- ترددات الانماط الاهتزازية الواقعة عند مستوى سطح الجزيئة.

1- ترددات مط الاصرة CH. وتتراوح قيم تردداتها بين 3047-2987 سم-1 وشدة امتصاصها بين 0.012-0.012 كم مول-1 جدول (4)

2- ترددات المط الحقيقية. و تراوح قيم تردداتها بين 1675-1601 سم-1 وشدة امتصاصها بين 0.962-0.962 كم مول-1.

3- ترددات انحناء الاصرة CH عند مستوى سطح الجزيئة (CH). و تراوح قيم تردداتها بين 1536-1038 سم-1 وشدة امتصاصها بين 0.686-0.686 كم مول-1.

4- ترددات انحناء الحلقات العطرية عند مستوى سطح الجزيئة (CCC) . وتتراوح قيمها بين 1120-125 سم-1 وشدة امتصاصها بين 0.0740-0.0740 كم مول-1.

ب- ترددات الانماط الاهتزازية الواقعة خارج مستوى سطح الجزيئة.

1- ترددات انحناء الاصرة CH خارج مستوى سطح الجزيئة (γCH). وتتراوح قيمها بين 964-763 سم-1 وتمتلك شدة امتصاص بين 0.403-0.403 كم مول-1.

2- ترددات انحناء الحلقات العطرية خارج مستوى سطح الجزيئة (γCCC) . وتراوح قيمها بين 720-94 سم-1 وتمتلك شدة امتصاص بين 0.039-19.462 كم مول-1.

#### علاقة المقارنة Comparisons

1- ترددات مط الاصرة

(The CH stretching vibrations)

تتعاقب ترددات مط الاصرة CH المتماثلة العائدة للاصناف الثلاثة (متناهٍ وموجب وسالب) لجزئية الكورانيولين حسب العلاقات الآتية:

3- ترددات انحناء الاصرة CH عند مستوى سطح الجزيئة CH . وتتراوح قيم تردداتها بين (1536-1102) سم-1 وشدة امتصاصها بين (502-0.034) كم مول-1.

4- ترددات انحناء الحلقات العطرية عند مستوى سطح الجزيئة (CCC) . وتتراوح قيمها بين (1113-22) سم-1 وشدة امتصاصها بين (380-0.076) كم مول-1.

ب- ترددات الانماط الاهتزازية الواقعة خارج مستوى سطح الجزيئة.

وتشتمل على (57A') نمطاً اهتزازياً فعالاً في طيف رaman و طيف الاشعة تحت الحمراء تم تصنيفها كما يأتي:

1- ترددات انحناء الاصرة CH خارج مستوى سطح الجزيئة (γCH). وتتراوح قيمها بين (1022-276) سم-1 وشدة امتصاصها بين (148.596-0.844) كم مول-1.

2- ترددات انحناء الحلقات العطرية خارج مستوى سطح الجزيئة (γCC).

وتتراوح قيمها بين (747-135) سم-1 وشدة امتصاصها بين (31.755-0.079) كم مول-1.

ترددات الاهتزاز لجذر الكورانيولين السالب (C20H10) كما في حالة الجذر الموجب لجزئية الكورانيولين فقد اقتصرت الدراسات الطيفية لجذر الكورانيولين السالب التي وردت في الابيات على طيف الامتصاص المرئي Visible spectrum للجزئية الذي قاسه بارث ولاوتن عام (1967) . [15]

لذا فقد تم استخدام اسلوب MINDO/3-FORCES لحساب ترددات الاهتزاز وشدة امتصاص الاشعة تحت الحمراء لجزئية، وصنفت الانماط الاهتزازية العائدة لجزئية تمامياً وتكافؤياً بالاستعانة ببرنامج الرسم DRAW. MOL وكما مبين في الشكل (8) الذي يمثل انموذجاً من انماط الحركة الاهتزازية لجزئية.

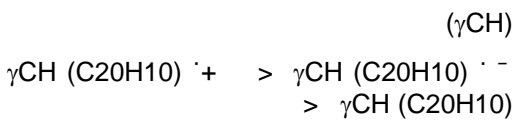
ينتهي جذر الكورانيولين السالب الى المجموعة التماثلية CS حيث انها تمتلك (E, σ) من عمليات التبادل ولها 84 ترددًا اساسياً حسب العلاقة (3N-6) عدد الاصناف التماثلية irreducible (tot.) والتماثلات غير القابلة للاختزال representation هي:

$$tot. = 3N = 84$$

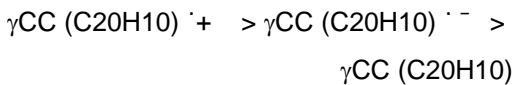
$$vib = 43 A' + 41 A''$$

$$ip = N - 3 = 57, \quad op = N - 3 = 27$$

5- ترددات انحاء الاصرة CH خارج مستوى سطح الجزيئة.



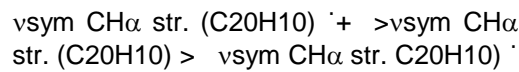
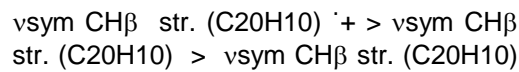
6- ترددات انحاء الحلقات العطرية خارج مستوى سطح الجزيئة ( $\gamma_{\text{CC}}$ ) .



**الاستنتاجات:** Conclusions  
الحساب لترددات الاهتزاز للجزيئه المتعادله وفق نظرية دوال الكثافة الاساسية DFT وطريقة الحساب شبه التجريبية MINDO/3 المقاييس القيمه الاقرب للقيم التجريبية المقاييس من طريقة الحساب شبه التجريبية PM3. ويؤمل أن تكون نتائج الحساب لترددات الاهتزاز وشدة امتصاصها للجذر الموجب والجذر السالب مثل ذلك، ولهذه الترددات أهميه كبيرة لافتراض عائده الحزم المنبعثة من الفضاء للجزيئات أمثلها، ولعدم ورود القياسات التجريبية لها في الابيات.

وأشارت محصلة النتائج الى أن اكتساب الكترون في الجذر السالب وقدان الكترون في الجذر الموجب ادى الى تغير التمايل من  $C_{2v}$  في الجزيئه المتعادلة الى  $C_s$  في الجزيئ Cs في الموجب والسائلب أتبعه تغير في أطوال الاواصر ورتبتها وثابت القوى وفي العلاقات بين ترددات الاهتزاز للاصناف الثلاثة.

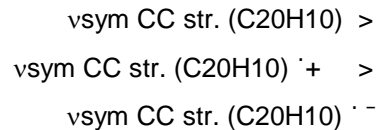
كذلك لوحظ وجود علاقة طردية بين حرارة تكوين و ترددات الاهتزاز فالجذر السالب يمتلك أقل حرارة تكوين وأقل ترددات مط للاصرة CH، والجذر الموجب يمتلك أكبر حرارة تكوين وأكبر ترددات مط للاصرة CH، والجزيئه المتعادله تمتلك قيم لحرارة التكوين وترددات مط للاصرة CH وسط بين قيمها للجذر الموجب وللجدار السالب. ويتوقع لهذه النتائج أن يكون لها أهميه ومساهمه في اغناء المعرفة العلميه للمركبات الاروماتيه العضويه متعددة الحلقات، Poly Aromatic Hydrocarbons (PAHs).



2- ترددات المط الحلقية

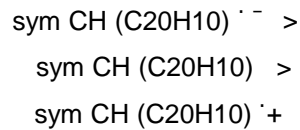
The CC stretching vibrations

تكون ترددات المط الحلقية المتماثله لأواصر CC جزيئه الكورانيولين اكبر من نظيرتها للجذر الموجب الذي تكون تردداته اكبر منه للجذر السالب اي ان:



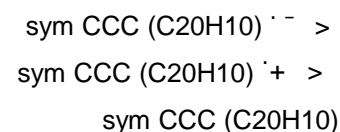
3- ترددات انحاء الاصرة CH عند مستوى سطح الجزيئة ( CH).

و تتبع ترددات الانحاء المتماثله للاصرة CH عند مستوى سطح الجزيئه ولاصناف جزيئه الكورانيولين الثلاثه التسلسل الآتي :

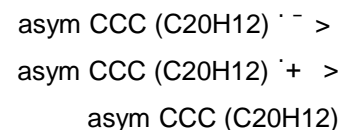


وتطبق العلاقة نفسها لترددات الانحاء غير المتماثله.

4- ترددات انحاء الحلقات العطرية عند مستوى سطح الجزيئه ( CCC ).



و تعود على شده امتصاص لتردد العائد لجزيئه الكورانيولين المتعادل.

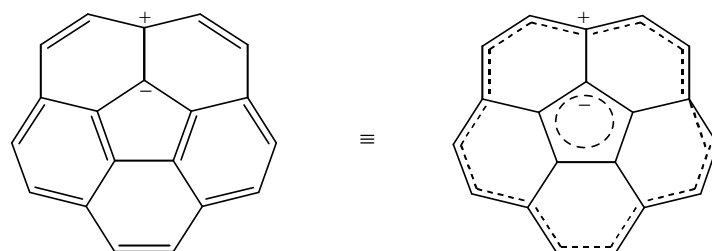


## References

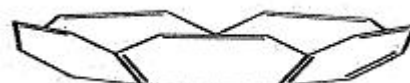
- 1- Barth E. and Lawton G., (1966). Synthesis of corannulene *J. Am. Chem. Soc.* ;**88** (2). **380-381.**
- 2- Barth E. and Lawton G., (1971). Synthesis of corannulene. *J. Am. Chem. Soc.* ;**93** (7):**1730-1745.**
- 3-Gleicher G.H., (1967). Calculation on the corannulene system. *Tetrahedron* ; **23:** 4257.
- 4- Hanson J.C. and C.E. Nordman, (1976). The crystal and molecular structure of corannulene,  $C_{20}H_{10}$ . *Acta Crystallog. Sect.;B***32:1147-1153.**
- 5- (a) Scott L.T., Hashemi M.M., Meyer D.T. and Warren H.B., (1991). Corannulene. A convenient new synthesis. *J. Am. Chem. Soc.* ; **113** (18): **7082-7084.**
- (b) Scott L.T., Hashemi M.M. and Bratcher M.S., (1992). Corannulene bowl-to-bowl inversion is rapid at room temperature. *J. Am. Chem. Soc.* ; **114**(5): **1920-1921.**
- (c) Scott L.T., Cheng P.C., Hashemi M.M. and Bratcher M.S., Meyer D.T., and Warren H.B.,(1997). Corannulene. A Three-Step Synthesis. *J. Am. Chem. Soc.* ;**119** (45): **10963-10968.**
- 6- Sygula A., and Rabideau P.W., (1999). Non-Pyrolytic Syntheses of Buckybowls: Corannulene, Cyclopentacorannulene, and a Semibuckminsterfullerene ;**121** (34): **7800-7803.**
- 7- Sygula A. and Rabideau P.W. (2000). A Simple, Large Scale Synthesis of the Corannulene System. *J. Am. Chem. Soc.*; **122:** **6323.**
- 8- Biedermann P.U., Pogodin S. and Agrana I., (1999). *J. Org. Chem.*; **64:** **3655.**
- 9- Chickos S., Webb P., Nichols G., Kiyabayashi T., Pei-Chaoand, Scott, L. (2002). The enthalpy of vaporization and sublimation of corannulene, coronene, and perylene at  $T= 298.15$  K., *J. Chem. Thermodynamics*, ;**34:** **1195-1206.**
- 10- a)-Narhari Sastry G. and Deva Priyakumar U., (2001). The role of heteroatom substitution in the rigidity and curvature of buckybowls. A Theoretical study., *J. Chem. Soc. Perkin Trans. ; 2:* **30-40.**
- 11- Dinadayalane T.C. and Narhari Sastry G., (2002). *J. Mol. Structure, Theochem.*, **579:** **63-72.**
- 12- Frish M.J., (2003). Gaussian 03, RevisionB.03, Gaussian Pittsburgh, PA.
- 13- Al-Maamury A.M. and Shanshal M., (1990). *Chim. Acta Turc.*; **18:** **99.**
- 14- J. Kao and L. Allinger, (1977). *J.Am.Chem.Soc.* **99;** No.4: **975.**
- 15- G. Davidson, (1990). "Introduction in Group Theory For Chemists", *Applied Science Publishers Ltd. London*, Elsevier Publishing Comp. Ltd.
- 16- a)- Kubba, R.M., Al-Ani R.L. and Shanshal, M. (2005). Carbon  $\sigma$ -Electron Densities and C-H Stretching Vibration Frequencies of Phenanthrene. *Z. Naturforsch.*, **60a, 165-170.**: b)- Kubba, R.M., Al-Ani R.R., and Shanshal, M. (2005). Frequencies and Normal Modes of Vibration of Benz(a)anthracene Radical Ions. *Z. Naturforsch.*; **60a:158-164.**: c)- Kubba R.M., S.H. Rida and A.H. Hanoon, (2005). Vibration Frequencies, Normal Coordinates and IR Absorption Intensities of 1-; 1,2-; 1,3- and 1,2,3- Methylene Cyclobutane Dirivatives, *Z. Naturforsch.* ;**60a: 411-418.** :d)- Kubba R.M., Rida S.H. and Hanoon A.H., (2005). Geometry, Vibration Frequencies, Normal Coordinates and IR Absorption Intensities of 6-Radialine. *Z. Naturforsch.* ;**60a: 419-423.** :e)- Kubba R.M., (2005). Aromatic C-H Bond Rupture; ADensity Functional, B3LYP, Study. *Z. Naturforsch.* ;**60a: 861-862.** :f)- Abdullah H.H., Kubba R.M., and Shanshal M., (2003). Vibration Frequencies Shifts of Naphthalene and Anthracene as Caused by Different Molecular Charge. *Z. Naturforsch.* ;**58a: 645-655.**
- 17- Lewars E., (2004). COMPUTATIONAL CHEMISTRY "Introduction to the Theory and Applications of Molecular and Quantum Mechanics", Chemistry Department, Trent University, Peterborough, Ontario, Canada.
- 18- Janata J., Gendell J., Chi-Yuan Ling, Barth E., Backes L., Mark H. B., and R. J. Lawton G., (1967). Concerning the anion and cation radicals of corannulene. *J. Am. Chem. Soc.*; **89(12); 3056-3058.**
- 19- a)- Joblin C., Boissel P., Legar A., D'Hendcourt L. and Defourneau D., (1994). Infrared spectroscopy of gas-phase PAH molecules. *Astronomy and Astrophys.*; **281:**

**923-936.** :b)- Hudgins M. and Allamandola L., (1995). Infrared Spectroscopy of Matrix Isolated Polycyclic Aromatic Hydrocarbons, Cations.2. The Members of the Thermodynamically Available Series Through

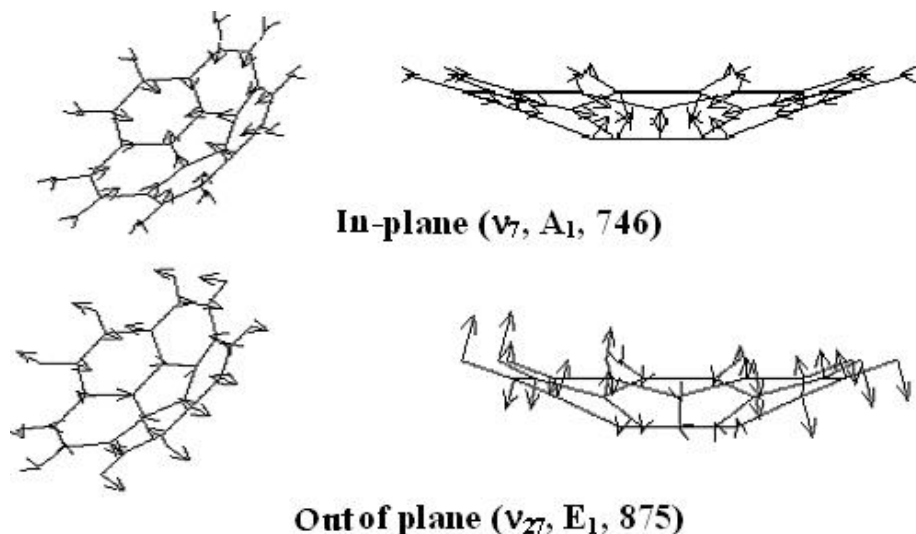
Corannulene. *J. Phys.Chem.*; 99: 3033-3046.,  
:c)- Camerman A. and Trotter. (1964). *J. Proc. R. Soc. London, Ser. ; A279: 129.*



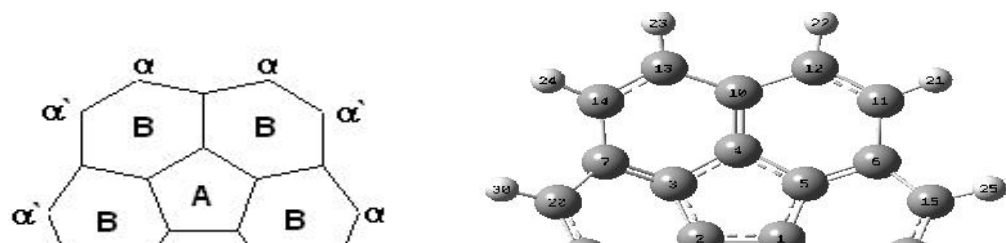
شكل (1) الصيغة الرئinية لجزئية الكورانيولين.



شكل (2)



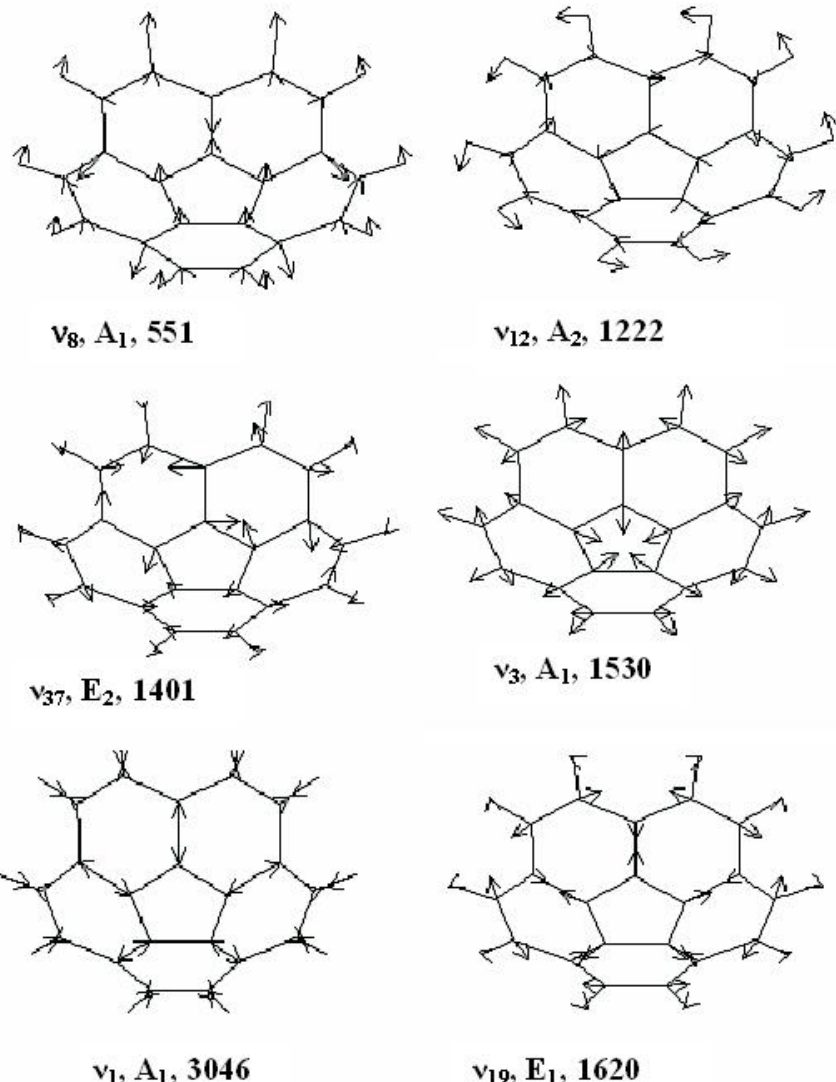
شكل (3) انماط الاهتزازية لجزئية الكورانيولين المتعدلة



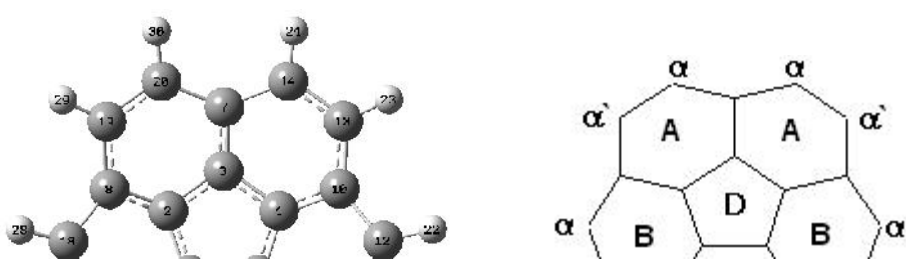
(b)

(a)

شكل (4): ترميز الذرات حسب (a) برنامج كاوس و (b) الطريقة النظامية، في جزيئة الكورانيولين المتعادلة على وفق الشكل الهندسي التماثلي المحسوب لها ( $C_{5v}$ ).



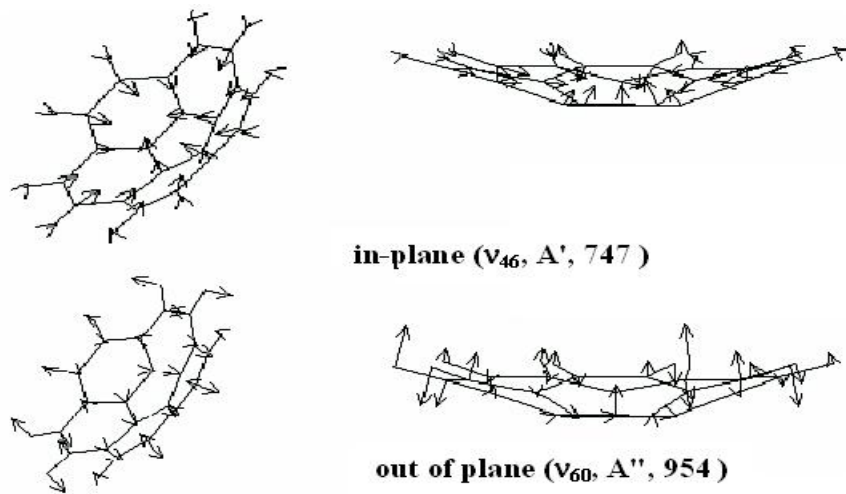
شكل (5): الإشكال البيانية الواسقة لبعض أنماط الحركة الاهتزازية لجزيءة الكورانيولين المتعادلة.



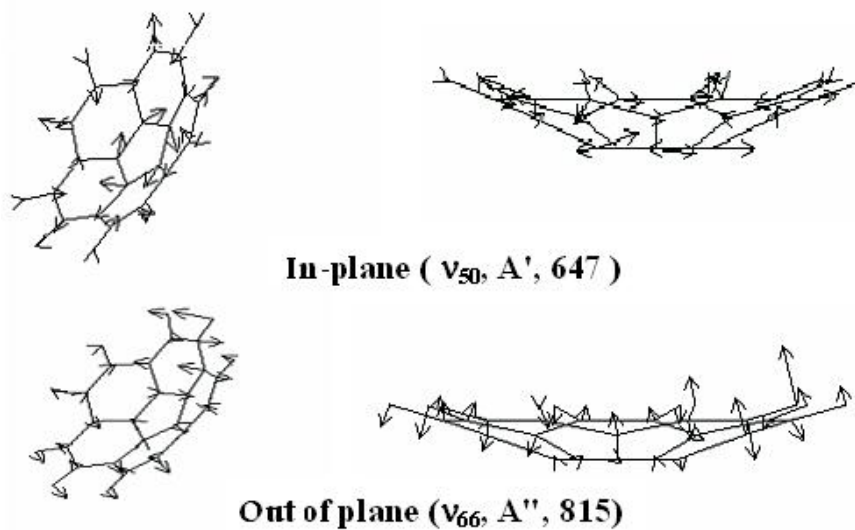
(a)

(b)

شكل (6): ترميز الذرات حسب (a) برنامج كاوس و (b) الطريقة النظامية، لجذري الكورانيولين الموجب والسلب على وفق الشكل الهندسي التماثلي المحسوب لهما ( $C_s$ ).



شكل (7): أنماط الحركة الاهتزازية، عند مستوى سطح الجزيئه و خارج مستوى سطح الجزيئه لجذر الكورانيولين الموجب.



شكل (8): أنماط الحركة الاهتزازية، عند مستوى سطح الجزيئة و خارج مستوى سطح الجزيئة لجزر الكورانيلين السالب.

**Table (1): Calculated geometry for Corannulene molecule.**

Bond length (Å) & Bond angles (deg.)		This work			Other works	
		Mindo/ 3-Forces	PM3	DFT	Calc. [4]	Expt. [14]
C <sub>3</sub> C <sub>4</sub>		<b>1.470</b>	<b>1.431</b>	<b>1.419</b>	<b>1.413</b>	<b>1.418</b>
C <sub>4</sub> C <sub>10</sub>		<b>1.417</b>	<b>1.378</b>	<b>1.385</b>	<b>1.402</b>	<b>1.392</b>
C <sub>10</sub> C <sub>13</sub>		<b>1.466</b>	<b>1.440</b>	<b>1.450</b>	<b>1.440</b>	<b>1.440</b>
C <sub>13</sub> C <sub>14</sub>		<b>1.386</b>	<b>1.376</b>	<b>1.391</b>	<b>1.391</b>	<b>1.397</b>
H <sub>23</sub> C <sub>13</sub>		<b>1.107</b>	<b>1.095</b>	<b>1.083</b>	-----	-----
< C <sub>2</sub> C <sub>3</sub> C <sub>4</sub>		<b>107.9</b>	<b>107.9</b>	<b>108.000</b>	-----	-----
< C <sub>6</sub> C <sub>11</sub> C <sub>12</sub>		<b>123.3</b>	<b>122.2</b>	<b>121.966</b>	-----	-----
< C <sub>4</sub> C <sub>10</sub> C <sub>12</sub>		<b>111.8</b>	<b>114.6</b>	<b>114.363</b>	-----	-----
< H <sub>10</sub> C <sub>12</sub> C <sub>22</sub>		<b>117.9</b>	<b>118.0</b>	<b>119.332</b>	-----	-----
< H <sub>30</sub> C <sub>20</sub> C <sub>19</sub>		<b>117.9</b>	<b>118.0</b>	<b>118.482</b>	-----	-----
Dipole moment Debye		-----	<b>2.43407</b>	<b>2.3279</b>	-----	-----
Heat of formation		<b>178.441</b>	<b>139.416</b>	<b>153</b>	-----	-----
(UH <sub>f</sub> kcal)						

**Table (2): Vibrational frequencies and IR absorption intensities for neutral Corannulene molecule.**

Symmetry & description		Frequency cm <sup>-1</sup>				Intensity (km/mol)
		Mindo/ 3-Forces Scaled	PM3	DFT B3LYP	Exptl. [2]	
A <sub>1</sub>						
€ <sub>1</sub>	CH str.	3046	3406	3051	3050	8.666
€ <sub>2</sub>	ring (C=C str.)	1634	1785	1659	-----	0.094
€ <sub>3</sub>	ring (CCC str.)	1530	1579	1467	-----	1.887
€ <sub>4</sub>	δCH (sciss.) + ring (δCCC)	1215	1348	1276	-----	1.427
€ <sub>5</sub>	δCH (sciss.) + ring (δCCC)	1029	1132	1054	-----	2.162
€ <sub>6</sub>	γCH	893	939	876	905	153.339
€ <sub>7</sub>	δring (δCCC) (breathing)	746	713	603	-----	4.380
€ <sub>8</sub>	γCC (rings B )	551	581	563	-----	22.803

$\epsilon_9$	$\gamma\text{CC} (\text{ring A})$	143	148	146	-----	7.246
$\mathbf{E}_1$						
$\epsilon_{10}$	$\text{CH str.}$	3043	3406	3049	-----	121.379
$\epsilon_{11}$	$\text{CH str.}$	3043	3406	3049	-----	121.379
$\epsilon_{12}$	$\text{CH str.}$	3027	3395	3028	-----	9.536
$\epsilon_{13}$	$\text{CH str.}$	3027	3395	3028	-----	9.536
$\epsilon_{14}$	$\text{ring (CC str.)}$	1620	1754	1654	-----	0.713
$\epsilon_{15}$	$\text{ring (CC str.)}$	1620	1754	1654	-----	0.713
$\epsilon_{16}$	$\delta\text{CH}$	1459	1564	1486	-----	4.353
$\epsilon_{17}$	$\delta\text{CH}$	1459	1564	1486	-----	4.353
$\epsilon_{18}$	$\text{ring (CC str.)} + \delta\text{CH}$	1397	1533	1444	-----	2.453
$\epsilon_{19}$	$\text{ring (CC str.)} + \delta\text{CH}$	1397	1533	1444	-----	2.453
$\epsilon_{20}$	$\text{ring (CCC str.)}$	1292	1416	1345	-----	10.083
$\epsilon_{21}$	$\text{ring (CCC str.)}$	1292	1416	1345	-----	10.083
$\epsilon_{22}$	$\delta\text{CH (wagging)}$	1249	1308	1225	-----	0.011
$\epsilon_{23}$	$\delta\text{CH (wagging)}$	1249	1308	1225	-----	0.011
$\epsilon_{24}$	$\delta\text{CH (scissoring)}$	1171	1231	1181	1135	6.957
$\epsilon_{25}$	$\delta\text{CH (scissoring)}$	1171	1231	1181	1135	6.957
$\epsilon_{26}$	$\gamma\text{CH}$	982	1036	992	-----	0.818
$\epsilon_{27}$	$\gamma\text{CH}$	982	1036	992	-----	0.818
$\epsilon_{28}$	$\delta\text{ring} (\delta\text{CCC}) \text{ ring A}$	953	967	872	-----	0.762
$\epsilon_{29}$	$\delta\text{ring} (\delta\text{CCC}) \text{ ring A}$	953	967	872	-----	0.762
$\epsilon_{30}$	$\gamma\text{CH}$	875	913	850	-----	6.215
$\epsilon_{31}$	$\gamma\text{CH}$	875	913	850	-----	6.215

$\epsilon_{32}$	$\delta\text{ring} (\delta\text{CCC})$	744	762	772	-----	2.452
$\epsilon_{33}$	$\delta\text{ring} (\delta\text{CCC})$	744	762	772	-----	2.452
$\epsilon_{34}$	$\gamma\text{CC} + \gamma\text{CH}$	629	669	679	-----	19.377
$\epsilon_{35}$	$\gamma\text{CC} + \gamma\text{CH}$	629	669	679	-----	19.377
$\epsilon_{36}$	$\gamma\text{CC} + \gamma\text{CH}$	436	433	458	-----	3.248
$\epsilon_{37}$	$\gamma\text{CC} + \gamma\text{CH}$	436	433	458	-----	3.248
$\epsilon_{38}$	$\delta\text{ring} (\delta\text{CCC})$	437	426	416	-----	3.020
$\epsilon_{39}$	$\delta\text{ring} (\delta\text{CCC})$	437	426	416	-----	3.020
$\epsilon_{40}$	$\gamma\text{CC} (\text{ring A}) + \gamma\text{CH}$	305	313	316	-----	0.005
$\epsilon_{41}$	$\gamma\text{CC} (\text{ring A}) + \gamma\text{CH}$	305	313	316	-----	0.005
$\mathbf{A}_2$						
$\epsilon_{42}$	$\text{CH str.}$	3026	3395	3028	3010	0.000
$\epsilon_{43}$	$\text{ring (CC str.)} + \delta\text{CH}$	1507	1625	1521	-----	0.000

$\epsilon_{44}$	$\delta\text{CH}$	1222	1299	1259	-----	0.000
$\epsilon_{45}$	$\gamma\text{CH}$	945	1025	984	-----	0.000
$\epsilon_{46}$	$\delta\text{ring } (\delta\text{CCC})$	864	909	955	-----	0.000
$\epsilon_{47}$	$\delta\text{ring } (\delta\text{CCC}) \text{ ring A}$ <b>(clock &amp; unclock)</b>	650	664	669	-----	0.000
$\epsilon_{48}$	$\gamma\text{CC (rings B)}$	490	471	551	-----	0.000
<b>E<sub>2</sub></b>						
$\epsilon_{49}$	<b>CH str.</b>	3041	3405	3048	-----	0.000
$\epsilon_{50}$	<b>CH str.</b>	3041	3405	3048	-----	0.000
$\epsilon_{51}$	<b>CH str.</b>	3028	3395	3029	-----	0.000
$\epsilon_{52}$	<b>CH str.</b>	3028	3395	3029	-----	0.000
$\epsilon_{53}$	ring (C=C str.)	1583	1743	1658	-----	0.000
$\epsilon_{54}$	ring (C=C str.)	1583	1743	1658	-----	0.000
$\epsilon_{55}$	ring (C--C str.)	1452	1589	1485	1430	0.000
$\epsilon_{56}$	ring (C--C str.)	1452	1589	1485	1430	0.000
$\epsilon_{57}$	$\delta\text{CH}$	1401	1461	1448	-----	0.000
$\epsilon_{58}$	$\delta\text{CH}$	1401	1461	1448	-----	0.000
$\epsilon_{59}$	ring (C--C str.) + $\delta\text{CH}$	1325	1426	1382	1310	0.000
$\epsilon_{60}$	ring (C--C str.) + $\delta\text{CH}$	1325	1426	1382	1310	0.000
$\epsilon_{61}$	$\delta\text{CH}$	1213	1325	1200	-----	0.000
$\epsilon_{62}$	$\delta\text{CH}$	1213	1325	1200	-----	0.000
$\epsilon_{63}$	$\delta\text{CH}$	1184	1247	1171	-----	0.000
$\epsilon_{64}$	$\delta\text{CH}$	1184	1247	1171	-----	0.000
$\epsilon_{65}$	$\delta\text{ring } (\delta\text{CCC}) + \delta\text{CH}$	1031	1143	1102	-----	0.000
$\epsilon_{66}$	$\delta\text{ring } (\delta\text{CCC}) + \delta\text{CH}$	1031	1143	1102	-----	0.000
$\epsilon_{67}$	$\gamma\text{CH}$	960	1050	1002	-----	0.000
$\epsilon_{68}$	$\gamma\text{CH}$	960	1050	1002	-----	0.000
$\epsilon_{69}$	$\gamma\text{CH}$	825	868	791	840	0.000
$\epsilon_{70}$	$\gamma\text{CH}$	825	868	791	840	0.000
$\epsilon_{71}$	$\gamma\text{CC (ring A)} + \gamma\text{CH}$	749	843	771	-----	0.000
$\epsilon_{72}$	$\gamma\text{CC (ring A)} + \gamma\text{CH}$	749	843	771	-----	0.000
$\epsilon_{73}$	$\delta\text{ring } (\delta\text{CCC}) \text{ (rings B)}$	679	669	653	-----	0.000
$\epsilon_{74}$	$\delta\text{ring } (\delta\text{CCC}) \text{ (rings B)}$	679	669	653	-----	0.000
$\epsilon_{75}$	$\gamma\text{CC}$	589	602	611	-----	0.000
$\epsilon_{76}$	$\gamma\text{CC}$	589	602	611	-----	0.000
$\epsilon_{77}$	$\delta\text{ring } (\delta\text{CCC})$	547	567	557	-----	0.000
$\epsilon_{78}$	$\delta\text{ring } (\delta\text{CCC})$	547	567	557	-----	0.000
$\epsilon_{79}$	$\delta\text{ring } (\delta\text{CCC})$	417	421	448	-----	0.000
$\epsilon_{80}$	$\delta\text{ring } (\delta\text{CCC})$	417	421	448	-----	0.000

$\epsilon_{81}$	$\gamma$ CC (rings B)	266	268	$2\wedge\xi$	-----	0.000
$\epsilon_{82}$	$\gamma$ CC (rings B)	266	268	$2\wedge\xi$	-----	0.000
$\epsilon_{83}$	$\gamma$ CC (rings B)	134	136	143	-----	0.000
$\epsilon_{84}$	$\gamma$ CC (rings B)	134	136	143	-----	0.000

**Scaling factors:** 0.876 (CH str.); 0.96 (ring (CC) str.); 1.06 ( $\delta$ CH); 1.08 ( $\delta$ ring( $\delta$ CCC)); 1.11 ( $\gamma$ CH); 1.11 ( $\gamma$ CCC); 1.03 ( $\gamma$ CC).

Special scaling factors were used for vibration modes with overlaps of different types of motion; 1.06 (ring (CCC) str. +  $\delta$ CH); 1.11 ( $\gamma$ CCC +  $\gamma$ CH) or ( $\gamma$ CC +  $\gamma$ CH); 1.03 ( $\gamma$ CH +  $\gamma$ CC). [16]

Scaling factors: 0.96 (CH str.) for all DFT (B3LYP/6-311G) frequencies, [17].

$\gamma$ : out of plane bending vibration.

$\delta$ : in-plane bending vibration.

**Table (3): Calculated geometry for Corannulene anion and cation radical.**

Bond length (Å) and Bond angles (deg.)	This work	
	DFT Anion	DFT Cation
C <sub>1</sub> C <sub>2</sub>	<b>1.406</b>	<b>1.394</b>
C <sub>1</sub> C <sub>5</sub>	<b>1.429</b>	<b>1.449</b>
C <sub>1</sub> C <sub>9</sub>	<b>1.397</b>	<b>1.396</b>
C <sub>2</sub> C <sub>3</sub>	<b>1.420</b>	<b>1.430</b>
C <sub>2</sub> C <sub>8</sub>	<b>1.407</b>	<b>1.388</b>
C <sub>3</sub> C <sub>7</sub>	<b>1.392</b>	<b>1.393</b>
C <sub>7</sub> C <sub>20</sub>	<b>1.452</b>	<b>1.442</b>
C <sub>8</sub> C <sub>18</sub>	<b>1.453</b>	<b>1.450</b>
C <sub>8</sub> C <sub>19</sub>	<b>1.430</b>	<b>1.452</b>
C <sub>9</sub> C <sub>16</sub>	<b>1.429</b>	<b>1.432</b>
C <sub>9</sub> C <sub>17</sub>	<b>1.467</b>	<b>1.449</b>
C <sub>15</sub> C <sub>16</sub>	<b>1.427</b>	<b>1.423</b>
C <sub>17</sub> C <sub>18</sub>	<b>1.392</b>	<b>1.392</b>
C <sub>19</sub> C <sub>20</sub>	<b>1.413</b>	<b>1.406</b>
H <sub>16</sub> C <sub>26</sub>	<b>1.086</b>	<b>1.082</b>
H <sub>17</sub> C <sub>27</sub>	<b>1.086</b>	<b>1.081</b>
H <sub>18</sub> C <sub>28</sub>	<b>1.087</b>	<b>1.081</b>
H <sub>19</sub> C <sub>29</sub>	<b>1.087</b>	<b>1.082</b>
H <sub>20</sub> C <sub>30</sub>	<b>1.086</b>	<b>1.082</b>
< C <sub>2</sub> C <sub>1</sub> C <sub>5</sub>	<b>108.149</b>	<b>108.315</b>
< C <sub>2</sub> C <sub>1</sub> C <sub>9</sub>	<b>123.972</b>	<b>123.459</b>
< C <sub>1</sub> C <sub>2</sub> C <sub>3</sub>	<b>107.596</b>	<b>107.252</b>
< C <sub>1</sub> C <sub>2</sub> C <sub>8</sub>	<b>123.646</b>	<b>122.987</b>
< C <sub>2</sub> C <sub>3</sub> C <sub>7</sub>	<b>123.358</b>	<b>123.358</b>
< C <sub>2</sub> C <sub>3</sub> C <sub>4</sub>	<b>108.477</b>	<b>108.477</b>
< C <sub>3</sub> C <sub>7</sub> C <sub>20</sub>	<b>113.939</b>	<b>113.939</b>

< C <sub>1</sub> C <sub>9</sub> C <sub>16</sub>	<b>114.929</b>	<b>114.929</b>
< C <sub>1</sub> C <sub>9</sub> C <sub>17</sub>	<b>112.716</b>	<b>112.716</b>
< C <sub>9</sub> C <sub>16</sub> H <sub>26</sub>	<b>119.722</b>	<b>119.722</b>
< C <sub>9</sub> C <sub>16</sub> C <sub>15</sub>	<b>121.900</b>	<b>121.900</b>
< C <sub>9</sub> C <sub>17</sub> H <sub>18</sub>	<b>122.534</b>	<b>122.534</b>
< C <sub>9</sub> C <sub>17</sub> H <sub>27</sub>	<b>121.900</b>	<b>121.900</b>
< C <sub>17</sub> C <sub>18</sub> H <sub>28</sub>	<b>118.004</b>	<b>118.004</b>
< C <sub>17</sub> C <sub>18</sub> C <sub>8</sub>	<b>122.738</b>	<b>122.738</b>
< C <sub>8</sub> C <sub>19</sub> H <sub>29</sub>	<b>119.548</b>	<b>119.548</b>
< C <sub>8</sub> C <sub>19</sub> C <sub>20</sub>	<b>122.345</b>	<b>122.345</b>
< C <sub>19</sub> C <sub>20</sub> C <sub>7</sub>	<b>122.032</b>	<b>122.032</b>
< C <sub>19</sub> C <sub>20</sub> H <sub>30</sub>	<b>118.244</b>	<b>118.244</b>
<b>Dipole moment Debye</b>	<b>3.81351</b>	
(UH <sub>f</sub> kcal/mol)	<b>109.103</b>	<b>336.875</b>

**Table (4): Vibration frequencies and IR absorption intensities for Corannulene cation and anion radicals.**

Symmetry & description	DFT (cation)		DFT (anion)	
	Freq. cm <sup>-1</sup>	Intensity (km/mol)	Freq. cm <sup>-1</sup>	Intensity (km/mol)
<b>A'</b>				
v <sub>1</sub> CH str. ( <b>rings B</b> )	3076	2.559	3047	86.364
v <sub>2</sub> CH str. ( <b>rings A</b> )	3072	12.482	3044	211.214
v <sub>3</sub> CH str. ( <b>ring C</b> )	3071	3.843	3030	38.858
v <sub>4</sub> CH str. ( <b>rings B</b> )	3059	0.669	2991	24.903
v <sub>5</sub> CH str. ( <b>rings A</b> )	3057	2.067	2989	0.012
v <sub>6</sub> ring (C--C str.) ( <b>ring D</b> )	1638	39.043	1675	10.663
v <sub>7</sub> ring (C--C str.)+δCH ( <b>ring C</b> )	1610	184.770	1659	0.962
v <sub>8</sub> ring(C--C str.)+ δCH ( <b>rings A</b> )	1582	6.660	1645	65.334
v <sub>9</sub> δCH ( <b>rings A &amp; B</b> )	1492	3.806	1536	9.229
v <sub>10</sub> ring(CCCstr.)+δCH( <b>rings A,C</b> )	1477	0.366	1488	0.061
v <sub>11</sub> δCH ( <b>rings A &amp; B</b> )	1456	0.407	1472	16.480
v <sub>12</sub> ring(CCC str.)+δCH ( <b>rings A</b> )	1454	2.780	1436	0.044
v <sub>13</sub> δCH ( <b>rings A</b> )	1414	15.425	1418	127.408
v <sub>14</sub> δCH ( <b>ring C</b> )	1348	60.207	1386	5.787
v <sub>15</sub> δCH ( <b>rings B</b> ) ↵	1296	116.224	1344	101.855
v <sub>16</sub> δCH ( <b>rings A, ↵ &amp; rings C</b> )	1281	46.683	1284	23.744
v <sub>17</sub> δCH ( <b>rings A, ↵</b> )	1217	8.348	1227	46.170
v <sub>18</sub> δCH ( <b>rings A, ↵`</b> )	1192	135.565	1213	7.830
v <sub>19</sub> δCH ( <b>rings A, ↵</b> )	1177	3.027	1169	23.779
v <sub>20</sub> δring (δCCC)	1113	0.378	1120	64.818

v <sub>21</sub>	δring (δCCC)	1097	380.260	1104	28.658
v <sub>22</sub>	δCH (ring C)	1034	261.159	1038	2.358
v <sub>23</sub>	γCH ( <b>rings B</b> )	1022	2.120	964	2.172
v <sub>24</sub>	γCH ( <b>rings A &amp; B</b> )	1010	14.938	912	3.561
v <sub>25</sub>	γCH ( <b>ring C</b> )	911	148.596	867	9.119
v <sub>26</sub>	γCH ( <b>rings C &amp; A</b> )	885	0.844	809	133.847
v <sub>27</sub>	δring (δCCC)	861	47.958	789	22.841
v <sub>28</sub>	γCH ( <b>rings B &amp; C</b> )	812	7.259	769	2.068
v <sub>29</sub>	δring (δCCC)	764	12.452	758	39.018
v <sub>30</sub>	γring (γCCC)	747	13.653	720	10.768
v <sub>31</sub>	γring (γCCC) + γCH	655	7.486	659	4.952
v <sub>32</sub>	δring (δCCC)	636	31.315	648	0.821
v <sub>33</sub>	γring (γCCC) + γCH	597	4.464	598	0.939
v <sub>34</sub>	γring (γCCC) + γCH	584	22.087	587	1.552
v <sub>35</sub>	γring (γCCC)+ γCH ( <b>rings B</b> )	555	1.141	552	19.462
v <sub>36</sub>	γring (γCCC) + γCH ( <b>ring A</b> )	544	21.549	546	6.780
v <sub>37</sub>	δCH + δring ( δCCC)	455	0.69	446	1.654
v <sub>38</sub>	δring (δCCC)	416	29.723	438	0.557
v <sub>39</sub>	δring (δCCC)	393	75.434	400	26.323
v <sub>40</sub>	γring (γCCC)	298	25.917	299	0.039
v <sub>41</sub>	γring (γCCC)	271	2.023	262	0.744
v <sub>42</sub>	γring (γCCC)	145	5.219	132	0.964
v <sub>43</sub>	γring (γCCC) ( <b>rings C&amp; A</b> )	135	4.839	94	4.341
<b>A''</b>					
v <sub>44</sub>	CH str. ( <b>rings B</b> )	3075	21.190	3040	33.602
v <sub>45</sub>	CH str. ( <b>rings A</b> )	3072	3.145	3029	219.432
v <sub>46</sub>	CH str. ( <b>rings B</b> )	3059	0.014	3022	12.531
v <sub>47</sub>	CH str. ( <b>rings A</b> )	3057	1.058	2991	182.616
v <sub>48</sub>	CH str. ( <b>ring C</b> )	3056	1.493	2989	1.137
v <sub>49</sub>	ring (C--C str.) ( <b>ring D</b> )	1652	1.708	1635	46.071
v <sub>50</sub>	ring (C--C str.) ( <b>ring C</b> )	1572	200.647	1601	1.076
v <sub>51</sub>	δCH ( <b>rings A &amp; C</b> )	1536	0.034	1522	2.605
v <sub>52</sub>	δCH ( <b>rings A &amp; C</b> )	1503	2.283	1507	23.793
v <sub>53</sub>	δCH ( <b>rings B &amp; C</b> )	1460	8.232	1482	46.819
v <sub>54</sub>	δCH ( <b>rings B, r`</b> )	1444	121.533	1437	6.644
v <sub>55</sub>	δCH ( <b>rings A</b> )	1373	62.696	1404	20.299
v <sub>56</sub>	δCH ( <b>rings A, r`</b> )	1308	181.590	1346	34.713
v <sub>57</sub>	δCH	1274	0.308	1314	3.501

v <sub>58</sub>	δCH + δCCC ( <b>rings A &amp; C</b> )	1247	17.615	1252	0.686
v <sub>59</sub>	δCH ( <b>rings A</b> ) + δCCC	1218	48.238	1224	37.606
v <sub>60</sub>	δCH ( <b>rings B</b> )	1189	101.914	1182	5.209
v <sub>61</sub>	δCH ( <b>rings B</b> )	1184	16.767	1166	12.626
v <sub>62</sub>	δCH ( <b>rings A</b> )	1102	502.734	1124	22.348
v <sub>63</sub>	γCH ( <b>rings B &amp; A</b> )	1022	0.166	964	0.403
v <sub>64</sub>	γCH ( <b>rings A &amp; C</b> )	1005	12.582	952	0.501
v <sub>65</sub>	γCH ( <b>rings B &amp; A</b> )	999	1.427	925	14.433
v <sub>66</sub>	δring (δCCC)	958	8.502	896	3.292
v <sub>67</sub>	δring (δCCC) ( <b>ring C</b> )	948	43.040	862	1.424
v <sub>68</sub>	γCH ( <b>rings A &amp; B</b> )	869	0.756	841	7.471
v <sub>69</sub>	δring (δCCC)	859	69.276	781	0.126
v <sub>70</sub>	γCH ( <b>rings A &amp; B</b> )	801	21.811	763	0.703
v <sub>71</sub>	δring (δCCC)	767	15.711	753	0.526
v <sub>72</sub>	γCC ( <b>rings B &amp; D</b> )	735	17.927	698	4.347
v <sub>73</sub>	δring (δCCC) ( <b>ring C</b> )	663	0.076	666	0.000
v <sub>74</sub>	γCC ( <b>rings A &amp; B</b> )	643	14.671	640	4.745
v <sub>75</sub>	δring (δCCC)	613	1.599	630	120.093
v <sub>76</sub>	δring (δCCC)	563	2.736	550	2.081
v <sub>77</sub>	γCC ( <b>rings B</b> )	537	2.908	513	1.750
v <sub>78</sub>	γCC ( <b>ring C</b> )	505	21.541	501	6.631
v <sub>79</sub>	γCC ( <b>ring C</b> )	437	0.079	410	4.241
v <sub>80</sub>	δring (δCCC)	412	19.098	397	7.405
v <sub>81</sub>	γCC ( <b>rings B &amp; D</b> )	310	2.239	381	9.237
v <sub>82</sub>	γCC ( <b>rings C &amp; B</b> )	276	31.755	275	1.818
v <sub>83</sub>	δring (δCCC)	183	85.543	257	3.183
v <sub>84</sub>	δring (δCCC)	22	132.860	125	0.740

## STUDYING THE VIBRATION FREQUENCIES OF CORANNULENE AND IT'S POSITIVE AND NEGATIVE RADICAL IONS USING QUANTUM MECHANICAL CALCULATIONS

**REHAB M. KUBBA, MANAL AL-DELEIMY AND MUTHANA SHANSHAL**

E.mail: [scianb@yahoo.com](mailto:scianb@yahoo.com)

**ABSTRACT.**:The vibration frequencies, IR absorption intensities and normal coordinates of the Corannulene radical cation and anion were calculated applying the MINDO/3, PM3, (DFT (B3LYP/6-311G)) quantum mechanical methods. The results allowed proper assignments for the frequencies of the experimentally known, radical cation vibrations. They provided pre estimation of the radical anion frequencies. Comparison is done for the frequencies of the ions with those of the neutral Corannulene molecules.